

REGIONE: SARDEGNA

PROVINCIA: SASSARI

COMUNI: SASSARI

ELABORATO:

**074.22.01.R07**

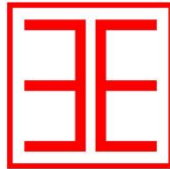
OGGETTO:

**IMPIANTO FOTOVOLTAICO  
"Sassari 2" 37,800 MWp  
PROGETTO DEFINITIVO**

PROPONENTE:

**ELEMENTS GREEN ATENA S.R.L.  
VIA G.P. DA PALESTRINA 63  
CAP 00193 ROMA  
P.IVA: 17048561009  
[PEC: elementsgreenatenasrl@legalmail.it](mailto:elementsgreenatenasrl@legalmail.it)**

**PROGETTO  
DEFINITIVO**



**E N E R G Y  
E N V I R O N M E N T  
E N G I N E E R I N G**

**3E Ingegneria S.r.l.  
Via G. Volpe n.92 – cap 56121 – Pisa (PI)  
[3eingegneria@pec.it](mailto:3eingegneria@pec.it)  
[www.3eingegneria.it](http://www.3eingegneria.it)  
[info@3eingegneria.it](mailto:info@3eingegneria.it)**

**Calcolo preliminare elettrico**



Note:

DATA	REV	DESCRIZIONE	ELABORATO da:	APPROVATO da:
Lug. 2023	0	Emissione	3E Ingegneria Srl	ELEMENTS GREEN ATENA

PROPRIETÀ ESCLUSIVA DELLE SOCIETÀ SOPRA INDICATE,  
UTILIZZO E DUPLICAZIONE VIETATE SENZA AUTORIZZAZIONE SCRITTA



## S O M M A R I O

<b>1</b>	<b>PREMESSA.....</b>	<b>3</b>
<b>2</b>	<b>DESCRIZIONE GENERALE IMPIANTO .....</b>	<b>4</b>
2.1	STRUTTURA DI SUPPORTO.....	5
<b>3</b>	<b>NORMATIVA DI RIFERIMENTO .....</b>	<b>7</b>
3.1	Norme di riferimento per la Bassa Tensione .....	7
3.2	Norme di riferimento per la media tensione.....	8
<b>4</b>	<b>CALCOLO PRELIMINARE IMPIANTI ELETTRICI AT E BT .....</b>	<b>10</b>
4.1	Calcolo delle correnti di impiego .....	10
4.2	Armoniche .....	11
4.3	Dimensionamento cavi.....	12
4.4	Integrale di Joule .....	14
4.5	Dimensionamento dei conduttori di neutro .....	15
4.6	Dimensionamento dei conduttori di protezione .....	16
4.7	Calcolo della temperatura dei cavi.....	17
4.8	Cadute di tensione.....	18
4.9	Trasformatori.....	19
4.9.1	Trasformatori a due avvolgimenti .....	20
4.9.2	Trasformatori a tre avvolgimenti.....	21
4.9.3	Fattori di correzione per generatori e trasformatori (EN 60909-0) .....	23
4.9.4	Fattori di correzione per trasformatori (EN 60909-0 par. 6.3.3) .....	23
4.9.5	Fattori di correzione per generatori sincroni (EN 60909-0 par. 6.6.1).....	23
4.9.6	Fattore di correzione per gruppi di produzione con regolazione automatica della tensione del trasformatore (EN 60909-0 par. 6.7.1) .....	24
<b>5</b>	<b>STUDIO DI CORTOCIRCUITO .....</b>	<b>26</b>
5.1	Stato del neutro di impianto .....	26
5.2	Calcolo dei guasti AT.....	26
5.2.1	Calcolo delle correnti massime di cortocircuito.....	27
5.2.2	Calcolo delle correnti minime di cortocircuito.....	29
5.2.3	Calcolo guasti bifase-neutro e bifase-terra .....	30
5.2.4	Guasti monofasi a terra linee AT .....	31
5.3	Scelta delle protezioni.....	33
5.3.1	Verifica della protezione a cortocircuito delle condutture .....	34
5.3.2	Verifica di selettività .....	35
5.4	Funzionamento in soccorso .....	36
5.5	Massima lunghezza protetta in AT .....	36
<b>6</b>	<b>CALCOLO PRELIMINARE IMPIANTO DI TERRA .....</b>	<b>38</b>
6.1	Definizioni.....	38
6.2	Tipologia di dispersori di terra.....	39
6.3	Calcoli dell'estensione dell'impianto di terra.....	44
6.3.1	Analisi della rete di terra .....	44
<b>7</b>	<b>SCARICHE ATMOSFERICHE .....</b>	<b>47</b>

<b>074.22.01.R07</b>	0	EMISSIONE	Data-Date.	Pag.	TOT.
SIGLA-TAG	REV	DESCRIZIONE - DESCRIPTION	<b>Lug. 2023</b>	<b>2</b>	<b>47</b>



ENERGY  
ENVIRONMENT  
ENGINEERING

Impianto Agrivoltaico  
"Sassari 2" da 37,80 MWp  
Calcolo preliminare elettrico

OGGETTO / SUBJECT

ELEMENTS GREEN  
ATENA S.R.L.

CLIENTE / CUSTOMER

## 1 PREMESSA

La presente relazione descrive le opere principali e la configurazione scelta per l'installazione e messa in esercizio di un Impianto Agrivoltaico di potenza pari a circa 37.800 kWp, denominato "Sassari" e connesso alla R.T.N. 36 kV attraverso la realizzazione della nuova stazione elettrica 380/150/36 kV, finalizzato alla produzione di energia elettrica rinnovabile. L'impianto verrà realizzato nel territorio comunale di Sassari in provincia di Sassari (SS) come le opere di rete per la connessione dell'impianto alla R.T.N.

Il presente documento descrive la relazione di calcolo preliminare dell'impianto elettrico.

<b>074.22.01.R07</b>	0	EMISSIONE	Data-Date.	Pag.	TOT.
SIGLA-TAG	REV	DESCRIZIONE – DESCRIPTION	<b>Lug. 2023</b>	<b>3</b>	<b>47</b>



## 2 DESCRIZIONE GENERALE IMPIANTO

L'impianto è di tipo grid-connected ed è collegato alla rete elettrica nazionale con connessione a 36 kV.

Ha una potenza pari a 37,80 MWp, derivante da 54.000 moduli e le strutture recintate che occupano una superficie di circa 69,38 ha.

Tabella 3.1 Dati generali dell'impianto

VOCE	DESCRIZIONE
Richiedente	ELEMENTS GREEN ATENA S.r.l.
Luogo di installazione	Sassari (SS)
Denominazione impianto	Sassari
Potenza di picco (MWp)	37,80 MWp
Informazioni generali del sito	I sottocampi 1 e 2 sono facilmente raggiungibili tramite la SP18 Mentre il sottocampo 3 è raggiungibile tramite la SP65
Connessione	Collegamento elettrico in antenna a 36kV a una nuova Stazione Elettrica (SE) della RTN a 36/150/380 kV "SASSARI"
Tipo strutture di sostegno	Strutture metalliche in acciaio zincato tipo Tracker su pali direttamente infissi nel terreno
Inclinazione piano dei moduli	+55°/-55°
Azimuth di installazione	0°
Caratterizzazione urbanistico-vincolistica	Il PUC del Comune colloca l'area di intervento in zona E area agricola
Cabine di campo	N°13 distribuite in campo
Cabina elettrica d'impianto, connessione e distribuzione	N°2 cabine d'impianto interne al campo FV
Rete di collegamento	Alta Tensione a 36 kV
Coordinate	Lat 40.711 Lon 8.378 Altitudine media 68 m s.l.m.

Il parco fotovoltaico è con strutture tracker disposte lungo la direzione Nord – Sud.

Le tipologie di sottofondazione dei fissi sono costituite da pali prefabbricati infissi tramite battipalo.

I moduli e gli inverter hanno tensione massima di esercizio di 1500 V (in genere, 1000 V) del tipo centralizzato, in quanto rappresentano l'attuale stato dell'arte.

## 2.1 STRUTTURA DI SUPPORTO

Come sopra detto sono state previste strutture tracker con palo infisso direttamente nel terreno.

I tracker sono costituiti da stringhe di un solo tipo:

- 18x1 moduli

Elettricamente le strutture sono collegate alla terra di impianto per assicurare la protezione contro le sovratensioni indotte da fenomeni atmosferici.

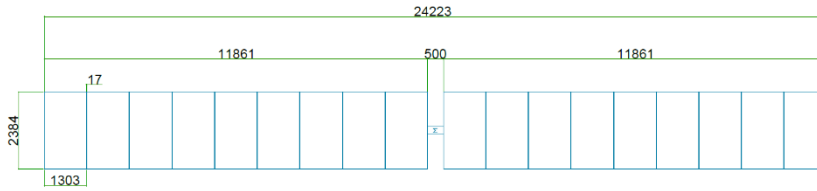


<b>074.22.01.R07</b>	0	EMISSIONE	Data-Date.	Pag.	TOT.
SIGLA-TAG	REV	DESCRIZIONE – DESCRIPTION	<b>Lug. 2023</b>	<b>5</b>	<b>47</b>



TRACKER MONOASSIALE

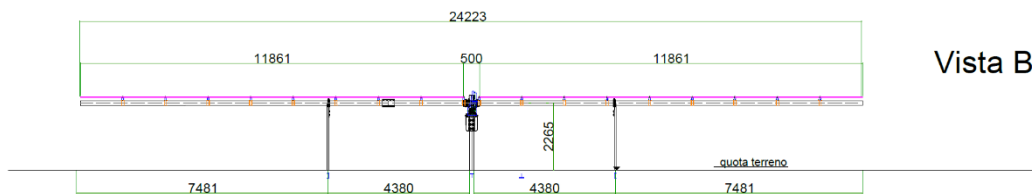
Pianta struttura



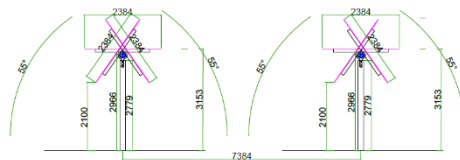
← Vista A

18 Moduli

↑  
Vista B



Vista B



Vista A

Figura 2-1: Esempio di struttura tracker

<b>074.22.01.R07</b>	0	EMISSIONE	Data-Date.	Pag.	TOT.
SIGLA-TAG	REV	DESCRIZIONE - DESCRIPTION	<b>Lug. 2023</b>	<b>6</b>	<b>47</b>

### 3 NORMATIVA DI RIFERIMENTO

#### 3.1 Norme di riferimento per la Bassa Tensione

CEI 0-21: Regola tecnica di riferimento per la connessione di Utenti attivi e passivi alle reti BT delle imprese distributrici di energia elettrica.

CEI 11-20 IVa Ed. 2000-08: Impianti di produzione di energia elettrica e gruppi di continuità collegati a reti I e II categoria.

CEI EN 60909-0 IIIa Ed. (IEC 60909-0:2016-12): Correnti di cortocircuito nei sistemi trifasi in corrente alternata. Parte 0: Calcolo delle correnti.

IEC 60090-4 First ed. 2000-7: Correnti di cortocircuito nei sistemi trifasi in corrente alternata. Parte 4: Esempi per il calcolo delle correnti di cortocircuito.

CEI 11-28 1993 Ia Ed. (IEC 781): Guida d'applicazione per il calcolo delle correnti di cortocircuito nelle reti radiali e bassa tensione.

CEI EN 60947-2 (CEI 17-5) Ed. 2018-04: Apparecchiature a bassa tensione. Parte 2: Interruttori automatici.

CEI 20-91 2010: Cavi elettrici con isolamento e guaina elastomerici senza alogeni non propaganti la fiamma con tensione nominale non superiore a 1000 V in corrente alternata e 1500 V in corrente continua per applicazioni in impianti fotovoltaici.

CEI EN 60898-1 (CEI 23-3/1 Ia Ed.) 2004: Interruttori automatici per la protezione dalle sovracorrenti per impianti domestici e similari.

CEI EN 60898-2 (CEI 23-3/2) 2007: Interruttori automatici per la protezione dalle sovracorrenti per impianti domestici e similari Parte 2: Interruttori per funzionamento in corrente alternata e in corrente continua.

CEI 64-8 VIIa Ed. 2012: Impianti elettrici utilizzatori a tensione nominale non superiore a 1000V in corrente alternata e a 1500V in corrente continua.

IEC 364-5-523: Wiring system. Current-carrying capacities.

IEC 60364-5-52 IIIa Ed. 2009: Electrical Installations of Buildings - Part 5-52: Selection and Erection of Electrical Equipment - Wiring Systems.

CEI UNEL 35016 2016: Classe di Reazione al fuoco dei cavi in relazione al Regolamento EU "Prodotti da Costruzione" (305/2011).

CEI UNEL 35023 2012: Cavi di energia per tensione nominale U uguale ad 1 kV - Cadute di tensione.

074.22.01.R07	0	EMISSIONE	Data-Date.	Pag.	TOT.
SIGLA-TAG	REV	DESCRIZIONE - DESCRIPTION	Lug. 2023	7	47



CEI UNEL 35024/1 1997: Cavi elettrici isolati con materiale elastomerico o termoplastico per tensioni nominali non superiori a 1000 V in corrente alternata e a 1500 V in corrente continua. Portate di corrente in regime permanente per posa in aria.

CEI UNEL 35024/2 1997: Cavi elettrici ad isolamento minerale per tensioni nominali non superiori a 1000 V in corrente alternata e a 1500 V in corrente continua. Portate di corrente in regime permanente per posa in aria.

CEI UNEL 35026 2000: Cavi elettrici con materiale elastomerico o termoplastico per tensioni nominali di 1000 V in corrente alternata e 1500 V in corrente continua. Portate di corrente in regime permanente per posa interrata.

CEI EN 61439 2012: Apparecchiature assiemate di protezione e di manovra per bassa tensione (quadri BT).

CEI 17-43 IIa Ed. 2000: Metodo per la determinazione delle sovratemperature, mediante estrapolazione, per apparecchiature assiemate di protezione e di manovra per bassa tensione (quadri BT) non di serie (ANS).

CEI 23-51 2016: Prescrizioni per la realizzazione, le verifiche e le prove dei quadri di distribuzione per installazioni fisse per uso domestico e similare.

NF C 15-100 Calcolo di impianti elettrici in bassa tensione e relative tabelle di portata e declassamento dei cavi secondo norme francesi.

UNE 20460 Calcolo di impianti elettrici in bassa tensione e relative tabelle di portata e declassamento (UNE 20460-5-523) dei cavi secondo regolamento spagnolo.

British Standard BS 7671:2008: Requirements for Electrical Installations;

ABNT NBR 5410, Segunda edição 2004: Instalações elétricas de baixa tensão;

### 3.2 Norme di riferimento per la media tensione

CEI 0-16: Regola tecnica di riferimento per la connessione di Utenti attivi e passivi alle reti AT ed MT delle imprese distributrici di energia elettrica.

CEI 99-2 (CEI EN 61936-1) 2011: Impianti con tensione superiore a 1 kV in c.a.

CEI 11-17 IIIa Ed. 2006: Impianti di produzione, trasmissione e distribuzione di energia elettrica. Linee in cavo.

CEI-UNEL 35027 IIa Ed. 2009: Cavi di energia per tensione nominale U da 1 kV a 30 kV.

CEI 99-4 2014: Guida per l'esecuzione di cabine elettriche MT/BT del cliente/utente finale.

CEI 17-1 VIIa Ed. (CEI EN 62271-100) 2013: Apparecchiatura ad alta tensione Parte 100: Interruttori a corrente alternata.

074.22.01.R07	0	EMISSIONE	Data-Date.	Pag.	TOT.
SIGLA-TAG	REV	DESCRIZIONE - DESCRIPTION	Lug. 2023	8	47



ENERGY  
ENVIRONMENT  
ENGINEERING

**Impianto Agrivoltaico  
"Sassari 2" da 37,80 MWp  
Calcolo preliminare elettrico**

**ELEMENTS GREEN  
ATENA S.R.L.**

OGGETTO / SUBJECT

CLIENTE / CUSTOMER

CEI 17-130 (CEI EN 62271-103) 2012: Apparecchiatura ad alta tensione Parte 103: Interruttori di manovra e interruttori di manovra sezionatori per tensioni nominali superiori a 1 kV fino a 52 kV compreso.

IEC 60502-2 2014: Power cables with extruded insulation and their accessories for rated voltages from 1 kV up to 30 kV – Part 2.

IEC 61892-4 Ia Ed. 2007-06: Mobile and fixed offshore units – Electrical installations. Part 4: Cables.

<b>074.22.01.R07</b>	0	EMISSIONE	Data-Date.	Pag.	TOT.
SIGLA-TAG	REV	DESCRIZIONE – DESCRIPTION	<b>Lug. 2023</b>	<b>9</b>	<b>47</b>

## 4 CALCOLO PRELIMINARE IMPIANTI ELETTRICI AT E BT

### 4.1 Calcolo delle correnti di impiego

Il calcolo delle correnti d'impiego viene eseguito in base alla classica espressione:

$$I_b = \frac{P_d}{k_{ca} \cdot V_n \cdot \cos\varphi}$$

nella quale:

$k_{ca} = 1$  sistema monofase o bifase, due conduttori attivi e corrente continua;

$k_{ca} = 1.73$  sistema trifase, tre conduttori attivi.

Se la rete è in corrente continua il fattore di potenza  $\cos\varphi$  è pari a 1.

Dal valore massimo (modulo) di  $I_b$  vengono calcolate le correnti di fase in notazione vettoriale (parte reale ed immaginaria) con le formule:

$$I_1 = I_b \cdot e^{-j\varphi} = I_b \cdot (\cos\varphi - j\sin\varphi)$$

$$I_2 = I_b \cdot e^{-j(\varphi - \frac{2\pi}{3})} = I_b \cdot (\cos(\varphi - \frac{2\pi}{3}) - j\sin(\varphi - \frac{2\pi}{3}))$$

$$I_3 = I_b \cdot e^{-j(\varphi - \frac{4\pi}{3})} = I_b \cdot (\cos(\varphi - \frac{4\pi}{3}) - j\sin(\varphi - \frac{4\pi}{3}))$$

Il vettore della tensione  $V_n$  è supposto allineato con l'asse dei numeri reali:

$$V_n = V_n + j0$$

La potenza di dimensionamento  $P_d$  è data dal prodotto:

$$P_d = P_n \cdot coeff$$

nella quale *coeff* è pari al fattore di utilizzo per utenze terminali oppure al fattore di contemporaneità per utenze di distribuzione.

Per le utenze terminali la potenza  $P_n$  è la potenza nominale del carico, mentre per le utenze di distribuzione  $P_n$  rappresenta la somma vettoriale delle  $P_d$  delle utenze a valle ( $\sum P_d$  a valle).

La potenza reattiva delle utenze viene calcolata invece secondo la:

$$Q_n = P_n \cdot \tan\varphi$$

per le utenze terminali, mentre per le utenze di distribuzione viene calcolata come somma vettoriale delle potenze reattive nominali a valle ( $\sum Q_d$  a valle).

Il fattore di potenza per le utenze di distribuzione viene valutato, di conseguenza, con la:

<b>074.22.01.R07</b>	0	EMISSIONE	Data-Date.	Pag.	TOT.
SIGLA-TAG	REV	DESCRIZIONE - DESCRIPTION	<b>Lug. 2023</b>	<b>10</b>	<b>47</b>



$$\cos \varphi = \cos \left( \arctan \left( \frac{Q_n}{P_n} \right) \right)$$

## 4.2 Armoniche

Le utenze terminali e le distribuzioni, come gli UPS e i Convertitori, possono possedere un profilo armonico che descrive le caratteristiche distorcenti di una apparecchiatura elettrica. Sono gestite le armoniche fino alla 21°, ossia fino alla frequenza di 1050 Hz (per un sistema elettrico a 50Hz).

Le armoniche prodotte da tutte le utenze distorcenti sono propagate da valle a monte come le correnti alla frequenza fondamentale, seguendo il 'cammino' dettato dalle impedenze delle linee, delle forniture, generatori, motori e non meno importanti i carichi capacitivi, che possono assorbire elevate correnti armoniche.

Gestito il passaggio delle armoniche attraverso i trasformatori (in particolare vengono bloccate le terze armoniche (omopolari) nei trasformatori Dyn11). Le armoniche, al pari della fondamentale, sono gestite in formato vettoriale, perciò durante la propagazione sono sommate con altre correnti di pari ordine vettorialmente.

Gestito il passaggio delle armoniche attraverso gli UPS, in particolare per tener conto del By-Pass che, se attivo, lascia passare le armoniche provenienti da valle. Gestite anche le armoniche proprie dell'UPS (tirate in funzione della potenza che sta assorbendo il raddrizzatore).

Vengono calcolate le correnti distorte IbTHD di impiego e InTHD di neutro, oltre al fattore di distorsione THD [%].

La corrente IbTHD è la massima tra le fasi:

$$I_{bTHD} = \max \left( \sqrt{\sum_{h=1}^{21} I_{f,h}^2} \right)_{f=1,2,3}$$

con f il numero delle fasi dell'utenza e h l'ordine di armonica.

Molto importante è la corrente distorta circolante nel neutro, in quanto essa porta le armoniche omopolari multiple di 3, che hanno la caratteristica di sommarsi algebricamente e di diventare facilmente dell'ordine di grandezza delle correnti di fase.

$$I_{nTHD} = \sqrt{\sum_{h=1}^{21} I_{n,h}^2}$$

<b>074.22.01.R07</b>	0	EMISSIONE	Data-Date.	Pag.	TOT.
SIGLA-TAG	REV	DESCRIZIONE - DESCRIPTION	<b>Lug. 2023</b>	<b>11</b>	<b>47</b>



Il fattore di distorsione fornisce un parametro riassuntivo del grado di distorsione delle correnti che circolano nella linea, e viene calcolato tramite la formula:

$$THD\% = \frac{100 \times \sqrt{I_b THD^2 - I_f^2}}{I_f}$$

I valori delle correnti distorte sono utilizzati per calcolare i seguenti parametri:

Calcolo della sezione del neutro per utenze 3F+N;

Calcolo temperatura cavi alla  $I_b THD$ ;

Calcolo sovratemperatura quadri alla  $I_b THD$ ;

Verifica delle portate e delle protezioni in funzione delle correnti distorte.

### 4.3 Dimensionamento cavi

Il criterio seguito per il dimensionamento dei cavi AT e BT è tale da poter garantire la protezione dei conduttori alle correnti di sovraccarico.

In base alla norma CEI 64-8/4 (par. 433.2), infatti, il dispositivo di protezione deve essere coordinato con la condotta in modo da verificare le condizioni:

$$\begin{aligned} a) \quad & I_b \leq I_n \leq I_z \\ b) \quad & I_f \leq 1.45 \cdot I_z \end{aligned}$$

Per la condizione a) è necessario dimensionare il cavo in base alla corrente nominale della protezione a monte. Dalla corrente  $I_b$ , pertanto, viene determinata la corrente nominale della protezione (seguendo i valori normalizzati) e con questa si procede alla determinazione della sezione.

Il dimensionamento dei cavi rispetta anche i seguenti casi:

1. condutture senza protezione derivate da una condotta principale protetta contro i sovraccarichi con dispositivo idoneo ed in grado di garantire la protezione anche delle condutture derivate;
2. condutture che alimenta diverse derivazioni singolarmente protette contro i sovraccarichi, quando la somma delle correnti nominali dei dispositivi di protezione delle derivazioni non supera la portata  $I_z$  della condotta principale.

L'individuazione della sezione si effettua utilizzando le tabelle di posa assegnate ai cavi.

Elenchiamo alcune tabelle, indicate per il mercato italiano:

IEC 60364-5-52 (PVC/EPR);

IEC 60364-5-52 (Mineral);

<b>074.22.01.R07</b>	0	EMISSIONE	Data-Date.	Pag.	TOT.
SIGLA-TAG	REV	DESCRIZIONE - DESCRIPTION	<b>Lug. 2023</b>	<b>12</b>	<b>47</b>



CEI-UNEL 35024/1;  
CEI-UNEL 35024/2;  
CEI-UNEL 35026;  
CEI 20-91 (HEPR).

In media tensione, la gestione del calcolo si divide a seconda delle tabelle scelte:

CEI 11-17;  
CEI UNEL 35027 (1-30kV).  
EC 60502-2 (6-30kV)  
IEC 61892-4 off-shore (fino a 30kV)

Il programma gestisce ulteriori tabelle, specifiche per alcuni paesi. L'elenco completo è disponibile nei Riferimenti normativi.

Esse oltre a riportare la corrente ammissibile  $I_z$  in funzione del tipo di isolamento del cavo, del tipo di posa e del numero di conduttori attivi, riportano anche la metodologia di valutazione dei coefficienti di declassamento.

La portata minima del cavo viene calcolata come:

$$I_{z\min} = \frac{I_n}{k}$$

dove il coefficiente  $k$  ha lo scopo di declassare il cavo e tiene conto dei seguenti fattori:

- tipo di materiale conduttore;
- tipo di isolamento del cavo;
- numero di conduttori in prossimità compresi eventuali paralleli;
- eventuale declassamento deciso dall'utente.

La sezione viene scelta in modo che la sua portata (moltiplicata per il coefficiente  $k$ ) sia superiore alla  $I_z$  min. Gli eventuali paralleli vengono calcolati nell'ipotesi che abbiano tutti la stessa sezione, lunghezza e tipo di posa (vedi norma 64.8 par. 433.3), considerando la portata minima come risultante della somma delle singole portate (declassate per il numero di paralleli dal coefficiente di declassamento per prossimità).

La condizione b) non necessita di verifica in quanto gli interruttori che rispondono alla norma CEI 23.3 hanno un rapporto tra corrente convenzionale di funzionamento  $I_f$  e corrente nominale  $I_n$  minore di 1.45 ed è costante per tutte le tarature inferiori a 125 A. Per le

<b>074.22.01.R07</b>	0	EMISSIONE	Data-Date.	Pag.	TOT.
SIGLA-TAG	REV	DESCRIZIONE - DESCRIPTION	<b>Lug. 2023</b>	<b>13</b>	<b>47</b>



apparecchiature industriali, invece, le norme CEI 17.5 e IEC 947 stabiliscono che tale rapporto può variare in base alla corrente nominale, ma deve comunque rimanere minore o uguale a 1,45.

Risulta pertanto che, in base a tali normative, la condizione b) sarà sempre verificata.

Le condutture dimensionate con questo criterio sono, pertanto, protette contro le sovracorrenti.

#### 4.4 Integrale di Joule

Dalla sezione dei conduttori del cavo deriva il calcolo dell'integrale di Joule, ossia la massima energia specifica ammessa dagli stessi, tramite la:

$$I^2 \cdot t = K^2 \cdot S^2$$

La costante K viene data dalla norma CEI 64-8/4 (par. 434.3), per i conduttori di fase e neutro e, dal paragrafo 64-8/5 (par. 543.1), per i conduttori di protezione in funzione al materiale conduttore e al materiale isolante. Per i cavi ad isolamento minerale le norme attualmente sono allo studio, i paragrafi sopraccitati riportano però nella parte commento dei valori prudenziali.

I valori di K riportati dalla norma sono per i conduttori di fase (par. 434.3):

Cavo in rame e isolato in PVC:	K = 115
Cavo in rame e isolato in gomma G:	K = 135
Cavo in rame e isolato in gomma etilenpropilenica G5-G7:	K = 143
Cavo in rame serie L rivestito in materiale termoplastico:	K = 115
Cavo in rame serie L nudo:	K = 200
Cavo in rame serie H rivestito in materiale termoplastico:	K = 115
Cavo in rame serie H nudo:	K = 200
Cavo in alluminio e isolato in PVC:	K = 74
Cavo in alluminio e isolato in G, G5-G7:	K = 92

I valori di K per i conduttori di protezione unipolari (par. 543.1) tab. 54B:

Cavo in rame e isolato in PVC:	K = 143
Cavo in rame e isolato in gomma G:	K = 166
Cavo in rame e isolato in gomma G5-G7:	K = 176
Cavo in rame serie L rivestito in materiale termoplastico:	K = 143

<b>074.22.01.R07</b>	0	EMISSIONE	Data-Date.	Pag.	TOT.
SIGLA-TAG	REV	DESCRIZIONE - DESCRIPTION	<b>Lug. 2023</b>	<b>14</b>	<b>47</b>



Cavo in rame serie L nudo:	K = 228
Cavo in rame serie H rivestito in materiale termoplastico:	K = 143
Cavo in rame serie H nudo:	K = 228
Cavo in alluminio e isolato in PVC:	K = 95
Cavo in alluminio e isolato in gomma G:	K = 110
Cavo in alluminio e isolato in gomma G5-G7:	K = 116

I valori di K per i conduttori di protezione in cavi multipolari (par. 543.1) tab. 54C:

Cavo in rame e isolato in PVC:	K = 115
Cavo in rame e isolato in gomma G:	K = 135
Cavo in rame e isolato in gomma G5-G7:	K = 143
Cavo in rame serie L rivestito in materiale termoplastico:	K = 115
Cavo in rame serie L nudo:	K = 228
Cavo in rame serie H rivestito in materiale termoplastico:	K = 115
Cavo in rame serie H nudo:	K = 228
Cavo in alluminio e isolato in PVC:	K = 76
Cavo in alluminio e isolato in gomma G:	K = 89
Cavo in alluminio e isolato in gomma G5-G7:	K = 94

#### 4.5 Dimensionamento dei conduttori di neutro

La norma CEI 64-8 par. 524.2 e par. 524.3, prevede che la sezione del conduttore di neutro, nel caso di circuiti polifasi, possa avere una sezione inferiore a quella dei conduttori di fase se sono soddisfatte le seguenti condizioni:

- Il conduttore di fase abbia una sezione maggiore di 16 mm<sup>2</sup>;
- La massima corrente che può percorrere il conduttore di neutro non sia superiore alla portata dello stesso
- La sezione del conduttore di neutro sia almeno uguale a 16 mm<sup>2</sup> se il conduttore è in rame e a 25 mm<sup>2</sup> se il conduttore è in alluminio.

Nel caso in cui si abbiano circuiti monofasi o polifasi e questi ultimi con sezione del conduttore di fase minore di 16 mm<sup>2</sup> se conduttore in rame e 25 mm<sup>2</sup> se e conduttore in alluminio, il conduttore di neutro deve avere la stessa sezione del conduttore di fase. In base alle esigenze

<b>074.22.01.R07</b>	0	EMISSIONE	Data-Date.	Pag.	TOT.
SIGLA-TAG	REV	DESCRIZIONE - DESCRIPTION	<b>Lug. 2023</b>	<b>15</b>	<b>47</b>



progettuali, sono gestiti fino a tre metodi di dimensionamento del conduttore di neutro, mediante:

- determinazione in relazione alla sezione di fase;
- determinazione tramite rapporto tra le portate dei conduttori;
- determinazione in relazione alla portata del neutro.

Il primo criterio consiste nel determinare la sezione del conduttore in questione secondo i seguenti vincoli dati dalla norma:

$$\begin{aligned} S_f < 16mm^2: & \quad S_n = S_f \\ 16 \leq S_f \leq 35mm^2: & \quad S_n = 16mm^2 \\ S_f > 35mm^2: & \quad S_n = S_f / 2 \end{aligned}$$

Il secondo criterio consiste nell'impostare il rapporto tra le portate del conduttore di fase e il conduttore di neutro, e il programma determinerà la sezione in base alla portata.

Il terzo criterio consiste nel dimensionare il conduttore tenendo conto della corrente di impiego circolante nel neutro come per un conduttore di fase.

Le sezioni dei neutri possono comunque assumere valori differenti rispetto ai metodi appena citati, comunque sempre calcolati a regola d'arte.

#### 4.6 Dimensionamento dei conduttori di protezione

Le norme CEI 64.8 par. 543.1 prevedono due metodi di dimensionamento dei conduttori di protezione:

- determinazione in relazione alla sezione di fase;
- determinazione mediante calcolo.

Il primo criterio consiste nel determinare la sezione del conduttore di protezione seguendo vincoli analoghi a quelli introdotti per il conduttore di neutro:

$$\begin{aligned} S_f < 16mm^2: & \quad S_{PE} = S_f \\ 16 \leq S_f \leq 35mm^2: & \quad S_{PE} = 16mm^2 \\ S_f > 35mm^2: & \quad S_{PE} = S_f / 2 \end{aligned}$$

Il secondo criterio determina tale valore con l'integrale di Joule, ovvero la sezione del conduttore di protezione non deve essere inferiore al valore determinato con la seguente formula:

<b>074.22.01.R07</b>	0	EMISSIONE	Data-Date.	Pag.	TOT.
SIGLA-TAG	REV	DESCRIZIONE - DESCRIPTION	<b>Lug. 2023</b>	<b>16</b>	<b>47</b>



$$S_p = \frac{\sqrt{I^2 \cdot t}}{K}$$

dove:

- $S_p$  è la sezione del conduttore di protezione ( $\text{mm}^2$ );
- $I$  è il valore efficace della corrente di guasto che può percorrere il conduttore di protezione per un guasto di impedenza trascurabile (A);
- $t$  è il tempo di intervento del dispositivo di protezione (s);
- $K$  è un fattore il cui valore dipende dal materiale del conduttore di protezione, dell'isolamento e di altre parti.

Se il risultato della formula non è una sezione unificata, viene presa una unificata immediatamente superiore.

In entrambi i casi si deve tener conto, per quanto riguarda la sezione minima, del paragrafo 543.1.3.

Esso afferma che la sezione di ogni conduttore di protezione che non faccia parte della condotta di alimentazione non deve essere, in ogni caso, inferiore a:

- 2,5  $\text{mm}^2$  rame o 16  $\text{mm}^2$  alluminio se è prevista una protezione meccanica;
- $\text{mm}^2$  o 16  $\text{mm}^2$  alluminio se non è prevista una protezione meccanica;

E' possibile, altresì, determinare la sezione mediante il rapporto tra le portate del conduttore di fase e del conduttore di protezione.

Nei sistemi TT, la sezione dei conduttori di protezione può essere limitata a:

- 25  $\text{mm}^2$ , se in rame;
- 35  $\text{mm}^2$ , se in alluminio;

#### 4.7 Calcolo della temperatura dei cavi

La valutazione della temperatura dei cavi si esegue in base alla corrente di impiego e alla corrente nominale tramite le seguenti espressioni:

$$T_{cavo}(I_b) = T_{ambiente} + \left( \alpha_{cavo} \cdot \frac{I_b^2}{I_z^2} \right)$$

$$T_{cavo}(I_n) = T_{ambiente} + \left( \alpha_{cavo} \cdot \frac{I_n^2}{I_z^2} \right)$$

esprese in °C.

Esse derivano dalla considerazione che la sovratemperatura del cavo a regime è proporzionale alla potenza in esso dissipata.

<b>074.22.01.R07</b>	0	EMISSIONE	Data-Date.	Pag.	TOT.
SIGLA-TAG	REV	DESCRIZIONE - DESCRIPTION	<b>Lug. 2023</b>	<b>17</b>	<b>47</b>



Il coefficiente  $k_{cavo}$  è vincolato dal tipo di isolamento del cavo e dal tipo di tabella di posa che si sta usando.

#### 4.8 Cadute di tensione

Le cadute di tensione sono calcolate vettorialmente. Per ogni utenza si calcola la caduta di tensione vettoriale lungo ogni fase e lungo il conduttore di neutro (se distribuito). Tra le fasi si considera la caduta di tensione maggiore che viene riportata in percentuale rispetto alla tensione nominale:

$$c.d.t.(I_b) = \max \left( \left| \sum_{i=1}^k Z_{f_i} \cdot I_{f_i} - Z_{h_i} \cdot I_{h_i} \right| \right)_{f=R,S,T}$$

con  $f$  che rappresenta le tre fasi R, S, T;

con  $n$  che rappresenta il conduttore di neutro;

con  $i$  che rappresenta le  $k$  utenze coinvolte nel calcolo;

Il calcolo fornisce, quindi, il valore esatto della formula approssimata:

$$c.d.t.(I_b) = k_{cdt} \cdot I_b \cdot \frac{L_c}{1000} \cdot (R_{cavo} \cdot \cos \varphi + X_{cavo} \cdot \sin \varphi) \cdot \frac{100}{V_n}$$

con:

$k_{cdt}=2$  per sistemi monofase;

$k_{cdt}=1.73$  per sistemi trifase.

I parametri  $R_{cavo}$  e  $X_{cavo}$  sono ricavati dalla tabella UNEL in funzione del tipo di cavo (unipolare/multipolare) ed alla sezione dei conduttori; di tali parametri il primo è riferito a 70° C per i cavi con isolamento PVC, a 90° C per i cavi con isolamento EPR; mentre il secondo è riferito a 50Hz, ferme restando le unità di misura in  $\Omega/km$ .

Se la frequenza di esercizio è differente dai 50 Hz si imposta

$$X'_{cavo} = \frac{f}{50} \cdot X_{cavo}$$

La caduta di tensione da monte a valle (totale) di una utenza è determinata come somma delle cadute di tensione vettoriale, riferite ad un solo conduttore, dei rami a monte all'utenza in esame, da cui, viene successivamente determinata la caduta di tensione percentuale riferendola al sistema (trifase o monofase) e alla tensione nominale dell'utenza in esame.

<b>074.22.01.R07</b>	0	EMISSIONE	Data-Date.	Pag.	TOT.
SIGLA-TAG	REV	DESCRIZIONE - DESCRIPTION	<b>Lug. 2023</b>	<b>18</b>	<b>47</b>



Sono adeguatamente calcolate le cadute di tensione totali nel caso siano presenti trasformatori lungo la linea (per esempio trasformatori MT/BT o BT/BT). In tale circostanza, infatti, il calcolo della caduta di tensione totale tiene conto sia della caduta interna nei trasformatori, sia della presenza di spine di regolazione del rapporto spire dei trasformatori stessi.

Se al termine del calcolo delle cadute di tensione alcune utenze abbiano valori superiori a quelli definiti, si ricorre ad un procedimento di ottimizzazione per far rientrare la caduta di tensione entro limiti prestabiliti (limiti dati da CEI 64-8 par. 525). Le sezioni dei cavi vengono forzate a valori superiori cercando di seguire una crescita uniforme fino a portare tutte le cadute di tensione sotto i limiti.

#### 4.9 Trasformatori

Tutti i trasformatori delle cabina di trasformazione di impianto saranno regolati e azionati secondo una logica di avviamento e funzionamento che limiti le correnti di energizzazione e che consenta una corretta regolazione delle protezioni.

All'interno dell'impianto in oggetto saranno presenti tre diverse tipologie di trasformatori abbinati a diverse tipologie di cabine di trasformazione e alimentazione dei carichi ausiliari:

- Trasformatore AT/BT 20/0,57 kV a due avvolgimenti o a singolo secondario (Dy11): tale configurazione è utilizzata in cabina generale AT, per l'alimentazione dei carichi ausiliari di impianto, e nelle Power Station di taglia piccola (fino a 1750 kVA);
- Trasformatore AT/BT 20/0,57/0,57 kV a tre avvolgimenti o a doppio secondario (Dy11y11): utilizzato nelle Power Station di taglia superiore a 1750 kVA;
- Trasformatore BT/BT 0,57/0,4 kV (Yy): per l'alimentazione dei carichi ausiliari all'interno delle Power Station.

Tutti i trasformatori sopracitati saranno raffreddati a secco con avvolgimenti inglobati in resina epossidica e saranno autoestinguenti, resistenti alle variazioni climatiche e resistenti all'inquinamento atmosferico e all'umidità.

Le taglie dei trasformatori interni alle Power Station, riportate nello schema unifilare (elaborato n. 034FO01005 - Schema Elettrico Unifilare), sono scelte tenendo conto del dimensionamento degli inverter, e quindi del rapporto DC/AC scelto, della potenza nominale

<b>074.22.01.R07</b>	0	EMISSIONE	Data-Date.	Pag.	TOT.
SIGLA-TAG	REV	DESCRIZIONE - DESCRIPTION	<b>Lug. 2023</b>	<b>19</b>	<b>47</b>



del modulo fotovoltaico e del contributo di potenza dato dal modulo bifacciale in funzione dell'albedo.

Ulteriori dettagli sono riportati nello schema unifilare (elaborato n. 034FO01005 – Schema elettrico unifilare).

#### 4.9.1 Trasformatori a due avvolgimenti

Se nella rete sono presenti dei trasformatori a due avvolgimenti, i dati di targa richiesti sono:

- Potenza nominale P<sub>n</sub> (in kVA);
- Perdite di cortocircuito P<sub>cc</sub> (in W);
- Tensione di cortocircuito v<sub>cc</sub> (in %)
- Rapporto tra la corrente di inserzione e la corrente nominale I<sub>lr</sub>/I<sub>rt</sub>;
- Rapporto tra la impedenza alla sequenza omopolare e quella di corto circuito;
- Tipo di collegamento;
- Tensione nominale del primario V<sub>1</sub> (in kV);
- Tensione nominale del secondario V<sub>02</sub> (in V).

Dai dati di targa si possono ricavare le caratteristiche elettriche dei trasformatori, ovvero: Impedenza di cortocircuito del trasformatore espressa in mΩ:

$$Z_{cct} = \frac{v_{cc}}{100} \cdot \frac{V_{02}^2}{P_n}$$

Resistenza di cortocircuito del trasformatore espressa in mΩ:

$$R_{cct} = \frac{P_{cc}}{1000} \cdot \frac{V_{02}^2}{P_n^2}$$

Reattanza di cortocircuito del trasformatore espressa in mΩ:

$$X_{cct} = \sqrt{Z_{cct}^2 - R_{cct}^2}$$

L'impedenza a vuoto omopolare del trasformatore viene ricavata dal rapporto con l'impedenza di cortocircuito dello stesso:

$$Z_{vot} = Z_{cct} \cdot \left( \frac{Z_{vot}}{Z_{cct}} \right)$$

dove il rapporto Z<sub>vot</sub>/Z<sub>cct</sub> vale usualmente 10-20.

In uscita al trasformatore si otterranno pertanto i parametri alla sequenza diretta, in mΩ:

$$Z_d = |Z_{cct}| = \sqrt{R_d^2 + X_d^2}$$

<b>074.22.01.R07</b>	0	EMISSIONE	Data-Date.	Pag.	TOT.
SIGLA-TAG	REV	DESCRIZIONE – DESCRIPTION	<b>Lug. 2023</b>	<b>20</b>	<b>47</b>



nella quale:

$$R_d = R_{cct}$$

$$X_d = X_{cct}$$

I parametri alla sequenza omopolare dipendono invece dal tipo di collegamento del trasformatore in quanto, in base ad esso, abbiamo un diverso circuito equivalente.

Pertanto, se il trasformatore è collegato triangolo/stella (Dy), si ha:

$$R_{ot} = R_{cct} \cdot \frac{\left(\frac{Z_{vot}}{Z_{cct}}\right)}{1 + \left(\frac{Z_{vot}}{Z_{cct}}\right)}$$

$$X_{ot} = X_{cct} \cdot \frac{\left(\frac{Z_{vot}}{Z_{cct}}\right)}{1 + \left(\frac{Z_{vot}}{Z_{cct}}\right)}$$

$$Z_{ot} = Z_{cct} \cdot \frac{\left(\frac{Z_{vot}}{Z_{cct}}\right)}{1 + \left(\frac{Z_{vot}}{Z_{cct}}\right)}$$

Diversamente, se il trasformatore è collegato stella/stella (Yy) avremmo:

$$R_{ot} = R_{cct} \cdot \left(\frac{Z_{vot}}{Z_{cct}}\right)$$

$$X_{ot} = X_{cct} \cdot \left(\frac{Z_{vot}}{Z_{cct}}\right)$$

$$Z_{ot} = Z_{cct} \cdot \left(\frac{Z_{vot}}{Z_{cct}}\right)$$

#### 4.9.2 Trasformatori a tre avvolgimenti

Se nella rete sono presenti dei trasformatori a tre avvolgimenti, denominati H, M, L, i dati di targa richiesti sono:

- Tensioni nominali (in V):  $U_{rTHV}; U_{rTMV}; U_{rTLV}$
- Potenze apparenti (in kVA):  $S_{rTHVMV}; S_{rTHVLV}; S_{rTMVLV}$
- Tensioni di cortocircuito (in %):  $u_{krHVMV}; u_{krHVLV}; u_{krMVLV}$
- Componenti resistive di cortocircuito (in %):  $u_{RrHVMV}; u_{RrHVLV}; u_{RrMVLV}$

<b>074.22.01.R07</b>	0	EMISSIONE	Data-Date.	Pag.	TOT.
SIGLA-TAG	REV	DESCRIZIONE - DESCRIPTION	<b>Lug. 2023</b>	<b>21</b>	<b>47</b>



Si parte calcolando le tre impedenze di cortocircuito (riportate all'avvolgimento H del trasformatore):

$$Z_{AB} = \left( \frac{U_{RrHVMV}}{100} + j \frac{U_{XrHVMV}}{100} \right) \frac{U_{rTHV}^2}{S_{rTHVMV}}$$

$$Z_{AC} = \left( \frac{U_{RrHVLV}}{100} + j \frac{U_{XrHVLV}}{100} \right) \frac{U_{rTHV}^2}{S_{rTHVLV}}$$

$$Z_{BC} = \left( \frac{U_{RrMVLV}}{100} + j \frac{U_{XrMVLV}}{100} \right) \frac{U_{rTHV}^2}{S_{rTMVLV}}$$

A queste si applicano i fattori di correzione al punto 6.3.3 della EN 60909-0:

$$K_{TAB} = 0.95 \frac{c_{max}}{1 + 0.6x_{TAB}}$$

$$K_{TAC} = 0.95 \frac{c_{max}}{1 + 0.6x_{TAC}}$$

$$K_{TBC} = 0.95 \frac{c_{max}}{1 + 0.6x_{TBC}}$$

con  $x_T = \frac{U_{Xr}}{100}$ , ottenendo:

$$Z'_{AB} = K_{TAB} Z_{AB}$$

$$Z'_{AC} = K_{TAC} Z_{AC}$$

$$Z'_{BC} = K_{TBC} Z_{BC}$$

Si possono ora calcolare le impedenze alla sequenza diretta dello schema equivalente del trasformatore a tre avvolgimenti, costituito da tre impedenze collegate a stella:

$$Z_A = \frac{1}{2} (Z'_{AB} + Z'_{AC} - Z'_{BC})$$

$$Z_B = \frac{1}{2} (Z'_{BC} + Z'_{AB} - Z'_{AC})$$

$$Z_C = \frac{1}{2} (Z'_{AC} + Z'_{BC} - Z'_{AB})$$

Per il calcolo della componente omopolare, si utilizza il rapporto  $X(0)T/X_T$  applicato alla componente reattiva delle tre impedenze dirette appena calcolate.

Le perdite a vuoto sono calcolate per il solo lato H del trasformatore, e trascurate per gli altri avvolgimenti.

La potenza dissipata a carico nel trasformatore a tre avvolgimenti è calcolata secondo:

<b>074.22.01.R07</b>	0	EMISSIONE	Data-Date.	Pag.	TOT.
SIGLA-TAG	REV	DESCRIZIONE - DESCRIPTION	<b>Lug. 2023</b>	<b>22</b>	<b>47</b>



$$P_H = \frac{1}{2} (P_{krHVMV} + P_{krHVLV} - P_{krMVLV})$$

$$P_M = \frac{1}{2} (P_{krHVMV} + P_{krMVLV} - P_{krHVLV})$$

$$P_L = \frac{1}{2} (P_{krHVLV} + P_{krMVLV} - P_{krHVMV})$$

e infine:

$$P = \left(\frac{I_H}{I_{NH}}\right)^2 P_H + \left(\frac{I_M}{I_{NM}}\right)^2 P_M + \left(\frac{I_L}{I_{NL}}\right)^2 P_L$$

#### 4.9.3 Fattori di correzione per generatori e trasformatori (EN 60909-0)

La norma EN 60909-0 fornisce una serie di fattori correttivi per il calcolo delle impedenze di alcune macchine presenti nella rete. Quelle utilizzate per il calcolo dei guasti riguardano i generatori e i trasformatori.

#### 4.9.4 Fattori di correzione per trasformatori (EN 60909-0 par. 6.3.3)

Per i trasformatori a due avvolgimenti, con o senza regolazione delle spire, quando si stanno calcolando le correnti massime di cortocircuito, si deve introdurre un fattore di correzione di impedenza  $K_T$  tale che:

$$Z_{cctK} = K_T \cdot Z_{cct}$$

$$K_T = 0.95 \cdot \frac{c_{max}}{1 + 0.6 \cdot x_T}$$

dove

$$x_T = \frac{X_{cct}}{V_{02}^2 / P_n}$$

è la reattanza relativa del trasformatore e  $C_{max}$  è preso dalla tabella 1 ed è relativo alla tensione lato bassa del trasformatore.

Tale fattore deve essere applicato alla impedenza diretta, inversa ed omopolare

#### 4.9.5 Fattori di correzione per generatori sincroni (EN 60909-0 par. 6.6.1)

Nel calcolo delle correnti massime di cortocircuito iniziali nei sistemi alimentati direttamente da generatori senza trasformatori intermedi, si deve introdurre un fattore di correzione  $K_G$  tale che:

$$Z_{GK} = K_G \cdot Z_G$$

con

<b>074.22.01.R07</b>	0	EMISSIONE	Data-Date.	Pag.	TOT.
SIGLA-TAG	REV	DESCRIZIONE - DESCRIPTION	<b>Lug. 2023</b>	<b>23</b>	<b>47</b>

$$K_G = \frac{V_{02}}{U_{rG}} \cdot \frac{c_{max}}{1 + x'' \cdot \sqrt{1 - \cos \varphi_{rG}}}$$

dove

$$x'' = \frac{X''}{V_{02}^2 / P_n}$$

è la reattanza satura relativa subtransitoria del generatore.

Tale fattore deve essere applicato alla impedenza diretta, inversa ed omopolare.

Nella formula compaiono a numeratore e denominatore la tensione nominale di sistema e la tensione nominale del generatore ( $U_{rG}$ ). In Ampère  $U_{rG}$  non è gestita, quindi si considera  $V_{02}/U_{rG} = 1$ .

#### 4.9.6 Fattore di correzione per gruppi di produzione con regolazione automatica della tensione del trasformatore (EN 60909-0 par. 6.7.1)

Nel calcolo delle correnti massime di cortocircuito iniziali nei gruppi di produzione, si deve introdurre un fattore di correzione di impedenza  $K_S$  da applicare alla impedenza complessiva nel lato alta del trasformatore:

$$Z_{SK} = K_S \cdot (t_r^2 \cdot Z_G + Z_{THV})$$

con

$$K_S = \frac{c_{max}}{1 + |x'' - x_T| \cdot \sqrt{1 - \cos \varphi_{rG}}}$$

Tale fattore deve essere applicato alla impedenza diretta, inversa ed omopolare. La formula per  $K_S$  non considera eventuali differenze tra valori nominali delle macchine e tensione nominale del sistema elettrico.

Fattore di correzione per gruppi di produzione senza regolazione automatica della tensione del trasformatore (EN 60909-0 par. 6.7.2)

Nel calcolo delle correnti massime di cortocircuito iniziali nei gruppi di produzione, si deve introdurre un fattore di correzione di impedenza  $K_{SO}$  da applicare alla impedenza complessiva nel lato alta del trasformatore:

$$Z_{SOK} = K_{SO} \cdot (t_r^2 \cdot Z_G + Z_{THV})$$

Con

$$K_{SO} = (1 \pm p_T) \cdot \frac{c_{max}}{1 + x'' \cdot \sqrt{1 - \cos \varphi_{rG}}}$$

<b>074.22.01.R07</b>	0	EMISSIONE	Data-Date.	Pag.	TOT.
SIGLA-TAG	REV	DESCRIZIONE - DESCRIPTION	<b>Lug. 2023</b>	<b>24</b>	<b>47</b>



ENERGY  
ENVIRONMENT  
ENGINEERING

**Impianto Agrivoltaico  
"Sassari 2" da 37,80 MWp  
Calcolo preliminare elettrico**

OGGETTO / SUBJECT

**ELEMENTS GREEN  
ATENA S.R.L.**

CLIENTE / CUSTOMER

Dove  $p_T$  è la variazione di tensione del trasformatore tramite la presa a spina scelta. Nel programma viene impostato il fattore  $(1-p_T)$ , con  $p_T = (|V_{sec}-V_{02}|)/V_{02}$ .

Tale fattore deve essere applicato alla impedenza diretta, inversa ed omopolare. La formula per KSO non considera eventuali differenze tra valori nominali delle macchine e tensione nominale del sistema elettrico.

<b>074.22.01.R07</b>	0	EMISSIONE	Data-Date.	Pag.	TOT.
SIGLA-TAG	REV	DESCRIZIONE – DESCRIPTION	<b>Lug. 2023</b>	<b>25</b>	<b>47</b>



## 5 STUDIO DI CORTOCIRCUITO

### 5.1 Stato del neutro di impianto

Come già descritto nei paragrafi precedenti, l'impianto fotovoltaico sarà così configurato:

- Livello AT: Distribuzione interna a 36 kV a neutro isolato nei tratti compresi tra il trasformatore AT/BT e la cabina generale AT e tra quest'ultima e le cabine di trasformazione di ciascun sottocampo;
- Livello BT (AC): Distribuzione fino a 1000 Vac interna ai sottocampi con distribuzione trifase + neutro TN-S.
- Livello BT (DC): Distribuzione a 1500 Vdc interna ai sottocampi con entrambi i poli isolati da terra (sistema flottante).

Le informazioni assunte sulla massima corrente di guasto verso terra AT e al relativo tempo di intervento delle protezioni sono:

- Massima corrente di guasto monofase a terra (IF): 72 A
- Tempo di intervento delle protezioni per guasto monofase a terra: 0,2 s

$$I_G = 18220 + 154,14 = 18374,14 \text{ A} \quad I_{IG} = 20000 + 140,4 = 20140,4 \text{ A} \quad (\text{LATO } 150 \text{ kV})$$

### 5.2 Calcolo dei guasti AT

Con il calcolo dei guasti vengono determinate le correnti di cortocircuito minime e massime immediatamente a valle della protezione dell'utenza (inizio linea) e a valle dell'utenza (fondo linea).

Le condizioni in cui vengono determinate sono:

- Guasto trifase (simmetrico);
- Guasto bifase (disimmetrico);
- Guasto bifase-neutro (disimmetrico);
- Guasto bifase-terra (disimmetrico);
- Guasto fase-terra (disimmetrico);
- Guasto fase-neutro (disimmetrico).

I parametri alle sequenze di ogni utenza vengono inizializzati da quelli corrispondenti della utenza a monte che, a loro volta, inizializzano i parametri della linea a valle.

<b>074.22.01.R07</b>	0	EMISSIONE	Data-Date.	Pag.	TOT.
SIGLA-TAG	REV	DESCRIZIONE - DESCRIPTION	<b>Lug. 2023</b>	<b>26</b>	<b>47</b>

### 5.2.1 Calcolo delle correnti massime di cortocircuito

Il calcolo delle correnti di cortocircuito massime viene condotto come descritto nella norma CEI EN 60909-0. Sono previste le seguenti condizioni generali:

Guasti con contributo della fornitura e dei generatori in regime di guasto subtransitorio.

Eventuale gestione della attenuazione della corrente per il guasto trifase 'vicino' alla sorgente.

Tensione di alimentazione nominale valutata con fattore di tensione Cmax;

Impedenza di guasto minima della rete, calcolata alla temperatura di 20°C.

La resistenza diretta, del conduttore di fase e di quello di protezione, viene riportata a 20 °C, partendo dalla resistenza data dalle tabelle UNEL 35023-2012 che può essere riferita a 70 o 90 °C a seconda dell'isolante, per cui esprimendola in mΩ risulta:

$$R_{dc} = \frac{R_c}{1000} \cdot \frac{L_c}{1000} \cdot \left( \frac{1}{1 + (\alpha \cdot \Delta T)} \right)$$

dove  $\Delta T$  è 50 o 70 °C e  $\alpha = 0.004$  a 20 °C.

Nota poi dalle stesse tabelle la reattanza a 50 Hz, se  $f$  è la frequenza d'esercizio, risulta:

$$X_{dc} = \frac{X_c}{1000} \cdot \frac{L_c}{1000} \cdot \frac{f}{50}$$

possiamo sommare queste ai parametri diretti della utenza a monte ottenendo così la impedenza di guasto minima a fine utenza.

Per le utenze in condotto in sbarre, le componenti della sequenza diretta sono:

$$R_{db} = \frac{R_b}{1000} \cdot \frac{L_b}{1000}$$

La reattanza è invece:

$$X_{db} = \frac{X_b}{1000} \cdot \frac{L_b}{1000} \cdot \frac{f}{50}$$

Per le utenze con impedenza nota, le componenti della sequenza diretta sono i valori stessi di resistenza e reattanza dell'impedenza.

Per quanto riguarda i parametri alla sequenza omopolare, occorre distinguere tra conduttore di neutro e conduttore di protezione.

Per il conduttore di neutro si ottengono da quelli diretti tramite le:

$$R_{0cN} = R_{dc} + 3 \cdot R_{dcN}$$

$$X_{0cN} = 3 \cdot X_{dc}$$

Per il conduttore di protezione, invece, si ottiene:

$$R_{0cPE} = R_{dc} + 3 \cdot R_{dcPE}$$

$$X_{0cPE} = 3 \cdot X_{dc}$$

dove le resistenze RdcN e RdcPE vengono calcolate come la Rdc.

Per le utenze in condotto in sbarre, le componenti della sequenza omopolare sono distinte tra conduttore di neutro e conduttore di protezione.

Per il conduttore di neutro si ha:

$$\begin{aligned} R_{0bN} &= R_{db} + 3 \cdot R_{dbN} \\ X_{0bN} &= 3 \cdot X_{db} \end{aligned}$$

Per il conduttore di protezione viene utilizzato il parametro di reattanza dell'anello di guasto fornito dai costruttori:

$$\begin{aligned} R_{0bPE} &= R_{db} + 3 \cdot R_{dbPE} \\ X_{0bPE} &= X_{db} + 3 \cdot (X_{b-ring} - X_{db}) \end{aligned}$$

I parametri di ogni utenza vengono sommati con i parametri, alla stessa sequenza, della utenza a monte, espressi in mΩ:

$$\begin{aligned} R_d &= R_{dc} + R_{d-up} \\ X_d &= X_{dc} + X_{d-up} \\ R_{0N} &= R_{0cN} + R_{0N-up} \\ X_{0N} &= X_{0cN} + X_{0N-up} \\ R_{0PE} &= R_{0cPE} + R_{0PE-up} \\ X_{0PE} &= X_{0cPE} + X_{0PE-up} \end{aligned}$$

Per le utenze in condotto in sbarre basta sostituire sbarra a cavo.

Ai valori totali vengono sommate anche le impedenze della fornitura.

Noti questi parametri vengono calcolate le impedenze (in mΩ) di guasto trifase:

$$Z_{k\min} = \sqrt{R_d^2 + X_d^2}$$

Fase neutro (se il neutro è distribuito):

$$Z_{k1N\min} = \frac{1}{3} \cdot \sqrt{(2 \cdot R_d + R_{0N})^2 + (2 \cdot X_d + X_{0N})^2}$$

Fase terra:

$$Z_{k1PE\min} = \frac{1}{3} \cdot \sqrt{(2 \cdot R_d + R_{0PE})^2 + (2 \cdot X_d + X_{0PE})^2}$$

Da queste si ricavano le correnti di cortocircuito trifase Ikmax, fase neutro Ik1Nmax, fase terra Ik1PEmax e bifase Ik2max espresse in kA:

$$\begin{aligned} I_{k\max} &= \frac{V_n}{\sqrt{3} \cdot Z_{k\min}} \\ I_{k1N\max} &= \frac{V_n}{\sqrt{3} \cdot Z_{k1N\min}} \end{aligned}$$

$$I_{k1PE\ max} = \frac{V_n}{\sqrt{3} \cdot Z_{k1PE\ min}}$$

$$I_{k2\ max} = \frac{V_n}{2 \cdot Z_{k\ min}}$$

Infine, dai valori delle correnti massime di guasto si ricavano i valori di cresta delle correnti:

$$I_p = \kappa \cdot \sqrt{2} \cdot I_{k\ max}$$

$$I_{p1N} = k \cdot \sqrt{2} \cdot I_{k1N\ max}$$

$$I_{p1PE} = \kappa \cdot \sqrt{2} \cdot I_{k1PE\ max}$$

$$I_{p2} = \kappa \cdot \sqrt{2} \cdot I_{k2\ max}$$

dove:

$$\kappa \approx 1.02 + 0.98 \cdot e^{-3 \frac{R_d}{X_d}}$$

Calcolo della corrente di cresta per guasto trifase secondo la norma IEC 61363-1 "Electrical installations of ships". Se richiesto,  $I_p$  può essere calcolato applicando il metodo semplificato della norma riportato al paragrafo 6.2.5 "Neglecting short-circuit current decay". Esso prevede l'utilizzo di un coefficiente  $k = 1.8$  che tiene conto della massima asimmetria della corrente dopo il primo semiperiodo di guasto.

### 5.2.2 Calcolo delle correnti minime di cortocircuito

Il calcolo delle correnti di cortocircuito minime viene condotto come descritto nella norma CEI EN 60909-0 par 7.1.2 per quanto riguarda:

- Guasti con contributo della fornitura e dei generatori. Il contributo dei generatori è in regime permanente per i guasti trifasi 'vicini', mentre per i guasti 'lontani' o asimmetrici si considera il contributo subtransitorio;
- La tensione nominale viene moltiplicata per il fattore di tensione  $C_{min}$ , che può essere 0.95 se  $C_{max} = 1.05$ , oppure 0.90 se  $C_{max} = 1.10$  (Tab. 1 della norma CEI EN 60909-0); in media e alta tensione il fattore  $C_{min}$  è pari a 1;

Per la temperatura dei conduttori si può scegliere tra:

- Il rapporto Cenelec R064-003, per cui vengono determinate le resistenze alla temperatura limite dell'isolante in servizio ordinario del cavo;
- La norma CEI EN 60909-0, che indica le temperature alla fine del guasto.

074.22.01.R07	0	EMISSIONE	Data-Date.	Pag.	TOT.
SIGLA-TAG	REV	DESCRIZIONE - DESCRIPTION	<b>Lug. 2023</b>	<b>29</b>	<b>47</b>



Le temperature sono riportate in relazione al tipo di isolamento del cavo, precisamente:

Isolante	Cenelec R064-003 [°C]	CEI EN 60909-0 [°C]
PVC	70	160
G	85	200
G5/G7/G10/EPR	90	250
HEPR	120	250
serie L rivestito	70	160
serie L nudo	105	160
serie H rivestito	70	160
serie H nudo	105	160

**Tabella 5.1: Temperatura dei conduttori al variare del tipo di isolamento**

Da queste è possibile calcolare le resistenze alla sequenza diretta e omopolare alla temperatura relativa all'isolamento del cavo:

$$R_{d\ max} = R_d \cdot (1 + \alpha \cdot \Delta T)$$

$$R_{0N\ max} = R_{0N} \cdot (1 + \alpha \cdot \Delta T)$$

$$R_{0PE\ max} = R_{0PE} \cdot (1 + \alpha \cdot \Delta T)$$

Queste, sommate alle resistenze a monte, danno le resistenze massime.

Valutate le impedenze mediante le stesse espressioni delle impedenze di guasto massime, si possono calcolare le correnti di cortocircuito trifase  $I_{k1min}$  e fase terra, espresse in kA:

$$I_{k\ min} = \frac{0.95 \cdot V_n}{\sqrt{3} \cdot Z_{k\ max}}$$

$$I_{k1N\ min} = \frac{0.95 \cdot V_n}{\sqrt{3} \cdot Z_{k1N\ max}}$$

$$I_{k1PE\ min} = \frac{0.95 \cdot V_n}{\sqrt{3} \cdot Z_{k1PE\ max}}$$

$$I_{k2\ min} = \frac{0.95 \cdot V_n}{2 \cdot Z_{k\ max}}$$

### 5.2.3 Calcolo guasti bifase-neutro e bifase-terra

Riportiamo le formule utilizzate per il calcolo dei guasti. Chiamiamo con  $Z_d$  la impedenza diretta della rete, con  $Z_i$  l'impedenza inversa, e con  $Z_0$  l'impedenza omopolare.

Nelle formule riportate in seguito,  $Z_0$  corrisponde all'impedenza omopolare fase-neutro o fase-terra.

$$I_{k2} = \left| -j \cdot V_n \cdot \frac{Z_0 - \alpha Z_i}{Z_d \cdot Z_i + Z_d \cdot Z_0 + Z_i \cdot Z_0} \right|$$

e la corrente di picco:

<b>074.22.01.R07</b>	0	EMISSIONE	Data-Date.	Pag.	TOT.
SIGLA-TAG	REV	DESCRIZIONE - DESCRIPTION	<b>Lug. 2023</b>	<b>30</b>	<b>47</b>

$$I_{p2} = k \cdot \sqrt{2} \cdot I_{k2\max}$$

### 5.2.4 Guasti monofasi a terra linee AT

Calcolo correnti omopolari a seguito di guasto fase-terra in circuiti di media-alta tensione.

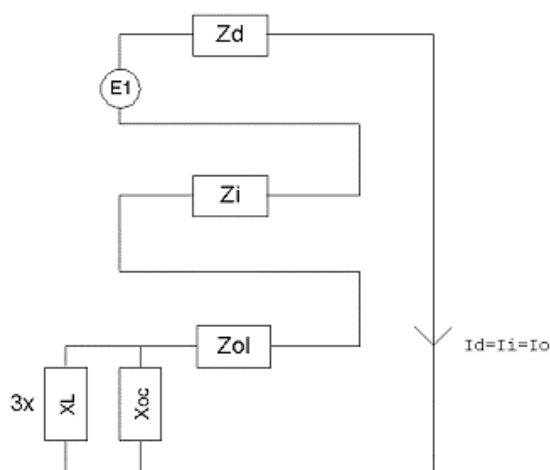
Il calcolo dei guasti a terra in reti di media e alta tensione coinvolge lo studio dell'effetto capacitivo della rete durante il regime di guasto.

Inoltre, le tecniche di determinazione delle linee guaste tramite relè varmetrici richiedono la conoscenza dei valori di corrente omopolare in funzione dei punti di guasto.

La nuova CEI 0-16 (e precedentemente la Enel DK5600), con l'introduzione del collegamento a terra del centro stella in media, richiede uno strumento per il dimensionamento della bobina di Petersen e il coordinamento delle protezioni degli utenti.

Per rispondere a tutte queste problematiche, Ampère Professional esegue il calcolo del regime di corrente omopolare a seguito di un guasto fase-terra.

Il modello di calcolo delle correnti omopolari, seguendo la teoria delle sequenze dirette, inverse e omopolari, per un guasto fase-terra è il seguente:



**Figura 5.1: Modellazione guasto monofase con componenti simmetriche**

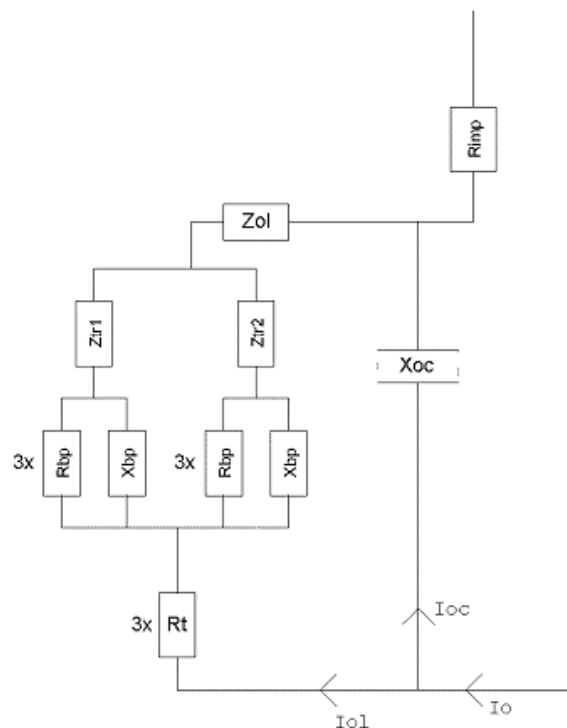
Con  $Z_d$  e  $Z_i$  si intendono le impedenze alle sequenze diretta ed inversa.

Per il calcolo dell'impedenza omopolare occorre considerare più elementi (vedi figura in basso, esempio con due trasformatori in parallelo):

- $Z_{ol}$ : impedenza omopolare del tratto di linea dal punto di guasto fino al trasformatore a monte;



- Ztr: impedenza omopolare del trasformatore (vista a secondario);
- Zbpet:  $(R_{bp}+jX_{bp})$  impedenza bobina di Petersen, costituita da un resistore ed una induttanza in parallelo;
- Rt: resistenza di terra punto di collegamento a terra del centro stella del trasformatore;
- Rimp: resistenza per guasto a terra non franco;
- Xoc: reattanza capacitiva di tutta la rete appartenente alla stessa zona dell'utenza guasta e a valle dello stesso trasformatore.



**Figura 5.2: Modellazione calcolo dell'impedenza omopolare**

Nota: il valore di  $X_{oc}$  è praticamente lo stesso per qualsiasi punto di guasto. Riferimenti: Lezioni di Impianti elettrici di Antonio Paolucci (Dipartimento Energia Elettrica Università di Padova) e CEI 11-37.

Per calcolare con buona approssimazione la  $X_{oc}$ , si utilizzano le due formule:

$$I_g = \frac{3 \cdot E}{X_{oc}}$$

$$I_g = (0.003 \cdot L1 + 0.2 \cdot L2) \cdot V_{kv}$$

<b>074.22.01.R07</b>	0	EMISSIONE	Data-Date.	Pag.	TOT.
SIGLA-TAG	REV	DESCRIZIONE - DESCRIPTION	<b>Lug. 2023</b>	<b>32</b>	<b>47</b>



dove  $I_g$  è la corrente di guasto a terra calcolata considerando la sola reattanza capacitiva nella prima formula, mentre nella seconda è riportato il suo valore se si è a conoscenza delle lunghezze (in km) di rete aerea L1 ed in cavo L2 della rete in media.  $V_{kv}$  è il valore di tensione nominale concatenata espressa in kV.

Uguagliando le due formule, ed esplicitando per  $X_{oc}$  si ottiene:

$$X_{oc} = \frac{\sqrt{3} \cdot 10^9}{(0.003 \cdot l1 + 0.2 \cdot l2)} \cdot \frac{f_0}{f}$$

con l1 e l2 espresse in metri,  $X_{oc}$  espressa in mohm,  $f_0 = 50$  Hz e f la frequenza di lavoro.

Calcolata la corrente di guasto omopolare  $I_o$ , secondo lo schema riportato nella figura precedente, rispetto a tutti i punti di guasto (valle delle utenze), si deve calcolare come essa si ripartisce nella rete e quanta viene vista da ogni protezione omopolare 67N distribuita nella rete.

Per prima cosa la  $I_o$  va ripartita in due correnti:  $I_{oc}$  per la  $X_{oc}$ , l'altra ( $I_{ol}$ ) per il centro stella del trasformatore attraverso la bobina di Petersen.

Poi, la  $I_{ol}$  viene suddivisa tra gli eventuali trasformatori in parallelo, proporzionalmente alla potenza.

La  $I_{oc}$ , essendo la corrente capacitiva che si richiude attraverso le capacità della rete, va suddivisa tra le utenze in cavo o aeree in media proporzionalmente alla capacità di ognuna (condensatori in parallelo).

Per ora non si tiene conto dei fattori di riduzione relativi a funi di guardia delle linee elettriche aeree e degli schermi metallici dei cavi sotterranei.

Tali fattori determinerebbero una riduzione della corrente  $I_{oc}$  e  $I_{ol}$  in quanto esisterebbe una terza componente nella  $I_o$  che si richiude attraverso questi elementi.

### 5.3 Scelta delle protezioni

La scelta delle protezioni viene effettuata verificando le caratteristiche elettriche nominali delle condutture ed i valori di guasto; in particolare le grandezze che vengono verificate sono:

- Corrente nominale, secondo cui si è dimensionata la conduttura;
- Numero poli;
- Tipo di protezione;
- Tensione di impiego, pari alla tensione nominale dell' utenza;

<b>074.22.01.R07</b>	0	EMISSIONE	Data-Date.	Pag.	TOT.
SIGLA-TAG	REV	DESCRIZIONE - DESCRIPTION	<b>Lug. 2023</b>	<b>33</b>	<b>47</b>



- Potere di interruzione, il cui valore dovrà essere superiore alla massima corrente di guasto a monte dell'utenza  $I_{km\ max}$ ;
- Taratura della corrente di intervento magnetico, il cui valore massimo per garantire la protezione contro i contatti indiretti (in assenza di differenziale) deve essere minore della minima corrente di guasto alla fine della linea ( $I_{mag\ max}$ ).

### 5.3.1 Verifica della protezione a cortocircuito delle condutture

Secondo la norma 64-8 par.434.3 "Caratteristiche dei dispositivi di protezione contro i cortocircuiti.", le caratteristiche delle apparecchiature di protezione contro i cortocircuiti devono soddisfare a due condizioni:

- Il potere di interruzione non deve essere inferiore alla corrente di cortocircuito presunta nel punto di installazione (a meno di protezioni adeguate a monte);
- La caratteristica di intervento deve essere tale da impedire che la temperatura del cavo non oltrepassi, in condizioni di guasto in un punto qualsiasi, la massima consentita.

La prima condizione viene considerata in fase di scelta delle protezioni. La seconda invece può essere tradotta nella relazione:

$$I^2 \cdot t \leq K^2 S^2$$

ossia in caso di guasto l'energia specifica sopportabile dal cavo deve essere maggiore o uguale a quella lasciata passare dalla protezione.

La norma CEI al par. 533.3 "Scelta dei dispositivi di protezioni contro i cortocircuiti" prevede pertanto un confronto tra le correnti di guasto minima (a fondo linea) e massima (inizio linea) con i punti di intersezione tra le curve. Le condizioni sono pertanto:

- Le intersezioni sono due:
- $I_{cc\ min} \geq I_{inters\ min}$  (quest'ultima riportata nella norma come  $I_a$ );
- $I_{cc\ max} \leq I_{inters\ max}$  (quest'ultima riportata nella norma come  $I_b$ ).

L'intersezione è unica o la protezione è costituita da un fusibile:

- $I_{cc\ min} \geq I_{inters\ min}$ .

L'intersezione è unica e la protezione comprende un magnetotermico:

- $I_{cc\ max} \leq I_{inters\ max}$ .

Sono pertanto verificate le relazioni in corrispondenza del guasto, calcolato, minimo e massimo. Nel caso in cui le correnti di guasto escano dai limiti di esistenza della curva della protezione il controllo non viene eseguito.

<b>074.22.01.R07</b>	0	EMISSIONE	Data-Date.	Pag.	TOT.
SIGLA-TAG	REV	DESCRIZIONE - DESCRIPTION	<b>Lug. 2023</b>	<b>34</b>	<b>47</b>



**Note:**

La rappresentazione della curva del cavo è una iperbole con asintoti  $K^2S^2$  e la  $I_z$  dello stesso. La verifica della protezione a cortocircuito eseguita dal programma consiste in una verifica qualitativa, in quanto le curve vengono inserite riprendendo i dati dai grafici di catalogo e non direttamente da dati di prova; la precisione con cui vengono rappresentate è relativa.

**5.3.2 Verifica di selettività**

È verificata la selettività tra protezioni mediante la sovrapposizione delle curve di intervento. I dati forniti dalla sovrapposizione, oltre al grafico sono:

Corrente  $I_a$  di intervento in corrispondenza ai massimi tempi di interruzione previsti dalla CEI 64-8: pertanto viene sempre data la corrente ai 5s (valido per le utenze di distribuzione o terminali fisse) e la corrente ad un tempo determinato tramite la tabella 41A della CEI 64.8 par 413.1.3. Fornendo una fascia di intervento delimitata da una caratteristica limite superiore e una caratteristica limite inferiore, il tempo di intervento viene dato in corrispondenza alla caratteristica limite inferiore. Tali dati sono forniti per la protezione a monte e per quella a valle;

Tempo di intervento in corrispondenza della minima corrente di guasto alla fine dell'utenza a valle: minimo per la protezione a monte (determinato sulla caratteristica limite inferiore) e massimo per la protezione a valle (determinato sulla caratteristica limite superiore);

Rapporto tra le correnti di intervento magnetico: delle protezioni;

Corrente al limite di selettività: ossia il valore della corrente in corrispondenza all'intersezione tra la caratteristica limite superiore della protezione a valle e la caratteristica limite inferiore della protezione a monte (CEI 23.3 par 2.5.14).

Selettività: viene indicato se la caratteristica della protezione a monte si colloca sopra alla caratteristica della protezione a valle (totale) o solo parzialmente (parziale a sovraccarico se l'intersezione tra le curve si ha nel tratto termico).

Selettività cronometrica: con essa viene indicata la differenza tra i tempi di intervento delle protezioni in corrispondenza delle correnti di cortocircuito in cui è verificata.

Nelle valutazioni si deve tenere conto delle tolleranze sulle caratteristiche date dai costruttori. Quando possibile, alla selettività grafica viene affiancata la selettività tabellare tramite i valori forniti dalle case costruttrici. I valori forniti corrispondono ai limiti di selettività in A relativi ad una coppia di protezioni poste una a monte dell'altra. La corrente di guasto minima a valle deve risultare inferiore a tale parametro per garantire la selettività.

<b>074.22.01.R07</b>	0	EMISSIONE	Data-Date.	Pag.	TOT.
SIGLA-TAG	REV	DESCRIZIONE - DESCRIPTION	<b>Lug. 2023</b>	<b>35</b>	<b>47</b>



Per la scelta delle protezioni in Sottostazione e in cabina generale AT si rimanda allo schema unifilare (034FO01005 – Schema elettrico unifilare)

#### 5.4 Funzionamento in soccorso

Se necessario, è verificata la rete o parte di essa in funzionamento in soccorso, quando la fornitura è disinserita e l'alimentazione è fornita da sorgenti alternative come generatori o UPS.

Vengono calcolate le correnti di guasto, la verifica delle protezioni con i nuovi parametri di alimentazione.

#### 5.5 Massima lunghezza protetta in AT

Il calcolo della massima lunghezza protetta viene eseguito mediante il criterio proposto dalla norma CEI 64-8 al paragrafo 533.3, secondo cui la corrente di cortocircuito presunta è calcolata come:

$$I_{ctocto} = \frac{0.8 \cdot U}{1.5 \cdot \rho \cdot (1 + m) \cdot \frac{L_{\max prot}}{S_f}}$$

partendo da essa e nota la taratura magnetica della protezione è possibile calcolare la massima lunghezza del cavo protetta in base ad essa.

Pertanto:

$$L_{\max prot} = \frac{0.8 \cdot U}{1.5 \cdot \rho \cdot (1 + m) \cdot \frac{I_{ctocto}}{S_f}}$$

Dove:

U: è la tensione concatenata per il neutro non distribuito e di fase per neutro distribuito;

$\rho$ : è la resistività a 20°C del conduttore;

m: rapporto tra sezione del conduttore di fase e di neutro (se composti dello stesso materiale);

Imag: taratura della magnetica.

Viene tenuto conto, inoltre, dei fattori di riduzione (per la reattanza):

- 0.9 per sezioni di 120 mm<sup>2</sup>;
- 0.85 per sezioni di 150 mm<sup>2</sup>;

<b>074.22.01.R07</b>	0	EMISSIONE	Data-Date.	Pag.	TOT.
SIGLA-TAG	REV	DESCRIZIONE – DESCRIPTION	<b>Lug. 2023</b>	<b>36</b>	<b>47</b>



ENERGY  
ENVIRONMENT  
ENGINEERING

**Impianto Agrivoltaico  
"Sassari 2" da 37,80 MWp  
Calcolo preliminare elettrico**

OGGETTO / SUBJECT

**ELEMENTS GREEN  
ATENA S.R.L.**

CLIENTE / CUSTOMER

- 0.8 per sezioni di 185 mm<sup>2</sup>;
- 0.75 per sezioni di 240 mm<sup>2</sup>;

Per ulteriori dettagli vedi norma CEI 64-8 par.533.3 sezione commenti.

<b>074.22.01.R07</b>	0	EMISSIONE	Data-Date.	Pag.	TOT.
SIGLA-TAG	REV	DESCRIZIONE – DESCRIPTION	<b>Lug. 2023</b>	<b>37</b>	<b>47</b>



## 6 CALCOLO PRELIMINARE IMPIANTO DI TERRA

### 6.1 Definizioni

- **Elettrodo ausiliario di terra:** elettrodo di terra con determinati vincoli progettuali/operativi. La sua funzione primaria può essere diversa dal condurre le correnti di guasto verso terra.
- **Elettrodo di terra:** conduttore interrato e usato per disperdere le correnti di guasto verso terra.
- **Elettrodo di terra primario:** elettrodo di terra progettato o adattato per scaricare le correnti di guasto verso terra secondo precisi profili di scarica richiesti (anche in maniera implicita) dal progetto di impianto.
- **Ground mat:** piastra metallica solida o sistema di conduttori nudi ravvicinati interconnessi tra loro e posizionati a basse profondità al di sopra di una rete di terra esistente al fine di introdurre una misura di protezione aggiuntiva, minimizzando il pericolo di esposizione a gradienti di tensione troppo elevati in luoghi in cui è segnalata un'elevata presenza di persone. Tipologie comuni di ground mat prevedono l'installazione di griglie metalliche sopra la superficie del terreno o immediatamente sotto la superficie.
- **Ground potential rise (GPR):** è il massimo potenziale che può instaurarsi tra la rete di terra e un punto posto a una certa distanza identificato come terra remota. Tale potenziale è calcolato attraverso il prodotto tra la massima corrente di guasto verso terra e la resistenza di terra del sistema. In condizioni normali, le apparecchiature elettriche messe a terra funzionano con un potenziale rispetto a quello della terra remota praticamente nullo; durante un guasto a terra, la parte di corrente di guasto dispersa verso terra provoca un aumento del potenziale del sistema di terra rispetto alla terra remota.
- **Rete di terra:** sistema orizzontale di elettrodi di terra che consiste in un numero di sbarre conduttrici interrate interconnesse fra loro. Fornisce un riferimento di tensione comune per dispositivi elettrici e strutture metalliche; inoltre limita i gradienti di tensione per tutta l'estensione della stessa. Normalmente la rete orizzontale è integrata con un certo numero di picchetti di terra e con gli elettrodi ausiliari di terra al fine di ridurre ulteriormente la resistenza totale di terra.

074.22.01.R07	0	EMISSIONE	Data-Date.	Pag.	TOT.
SIGLA-TAG	REV	DESCRIZIONE - DESCRIPTION	Lug. 2023	38	47



- **Sistema di terra:** comprende tutte le strutture di terra interconnesse in una specifica area.
- **Tensione di contatto:** differenza di potenziale tra il GPR e il potenziale del punto o superficie in cui una persona è contemporaneamente in piedi e a contatto con una struttura messa a terra.
- **Tensione di contatto metal-to-metal:** differenza di potenziale che si può creare tra due oggetti o strutture metalliche di cui una persona può entrare a contatto contemporaneamente con mani o piedi.
- **Tensione di maglia:** è la massima tensione che si può instaurare all'interno di una maglia della rete di terra.
- **Tensioni di passo:** La differenza di potenziale in un tratto convenzionale di un metro corrispondente alla distanza che una persona può colmare con i piedi senza toccare nessun altro oggetto collegato a terra.

## 6.2 Tipologia di dispersori di terra

Si riportano di seguito le formule utilizzate per il calcolo della resistenza di terra di diversi dispersori, nelle quali si tiene conto del tipo di terreno.

Impostata la resistività  $\rho$  del terreno, per ogni tipo di dispersore si devono inserire i parametri che lo definiscono.

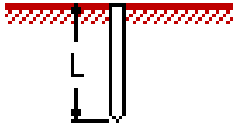
Parametri:

- Lunghezza L;
- Raggio del picchetto a;
- Distanza tra picchetti d;
- Profondità s;
- Raggio del filo a;
- Raggio anello r;
- Raggio piastra r;
- Lunghezze lati dispersori rettangolari a, b;
- Numero conduttori per lato  $n_a$ ,  $n_b$ .

Tipologie di dispersori:

1) Picchetto verticale

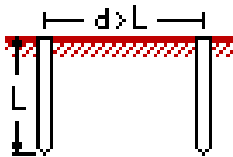
<b>074.22.01.R07</b>	0	EMISSIONE	Data-Date.	Pag.	TOT.
SIGLA-TAG	REV	DESCRIZIONE – DESCRIPTION	<b>Lug. 2023</b>	<b>39</b>	<b>47</b>



per avere a, il valore a' (diametro) inserito in Ampère deve essere diviso per 2:  $a=a'/2$ .

$$R_T = \frac{\rho}{2 \cdot \pi \cdot L} \cdot \left( \ln \frac{4 \cdot L}{a} - 1 \right)$$

2) Due picchetti verticali

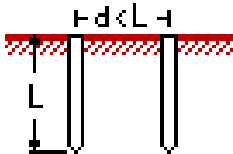


per avere a, il valore a' (diametro) inserito in Ampère deve essere diviso per 2:  $a=a'/2$ .

$$R_T = \frac{\rho}{4 \cdot \pi \cdot L} \cdot \left( \ln \frac{4 \cdot L}{a} - 1 \right) + \frac{\rho}{4 \cdot \pi \cdot d} \cdot \left( 1 - \frac{L^2}{3 \cdot d^2} + \frac{2 \cdot L^4}{5 \cdot d^4} \dots \right)$$

La formula ha il vincolo:  $d > L$ .

3) Due picchetti verticali vicini

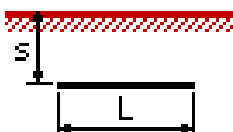


per avere a, il valore a' (diametro) inserito in Ampère deve essere diviso per 2:  $a=a'/2$ .

$$R_T = \frac{\rho}{4 \cdot \pi \cdot L} \cdot \left( \ln \frac{4 \cdot L}{a} + \ln \frac{4 \cdot L}{d} - 2 + \frac{d}{2 \cdot L} - \frac{d^2}{16 \cdot L^2} + \frac{d^4}{512 \cdot L^4} \dots \right)$$

Vincolo:  $d < L$ .

4) Dispersore lineare



per avere s, il valore s' inserito in Ampère deve essere moltiplicato per 2:  $s=2*s'$ ;

per avere L, il valore L' inserito in Ampère deve essere diviso per 2:  $L=L'/2$ ;

<b>074.22.01.R07</b>	0	EMISSIONE	Data-Date.	Pag.	TOT.
SIGLA-TAG	REV	DESCRIZIONE - DESCRIPTION	<b>Lug. 2023</b>	<b>40</b>	<b>47</b>

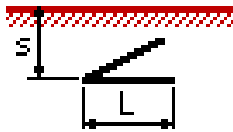


per avere  $a$ , il valore  $a'$  (diametro) inserito in Ampère deve essere diviso per 2:  $a=a'/2$ .

$$R_T = \frac{\rho}{4 \cdot \pi \cdot L} \cdot \left( \ln \frac{4 \cdot L}{a} + \ln \frac{4 \cdot L}{s} - 2 + \frac{s}{2 \cdot L} - \frac{s^2}{16 \cdot L^2} + \frac{s^4}{512 \cdot L^4} \dots \right)$$

Vincolo:  $s' < L'$ .

#### 5) Dispersore angolare



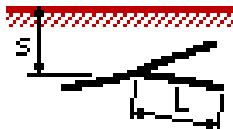
per avere  $s$ , il valore  $s'$  inserito in Ampère deve essere moltiplicato per 2:  $s=2*s'$ ;

per avere  $a$ , il valore  $a'$  (diametro) inserito in Ampère deve essere diviso per 2:  $a=a'/2$ .

$$R_T = \frac{\rho}{4 \cdot \pi \cdot L} \cdot \left( \ln \frac{2 \cdot L}{a} + \ln \frac{2 \cdot L}{s} - 0.2373 + 0.2146 \cdot \frac{s}{L} + 0.1035 \cdot \frac{s^2}{L^2} \dots \right)$$

Vincolo:  $s' < L$

#### 6) Stella a tre punte



per avere  $s$ , il valore  $s'$  inserito in Ampère deve essere moltiplicato per 2:  $s=2*s'$ ;

per avere  $a$ , il valore  $a'$  (diametro) inserito in Ampère deve essere diviso per 2:  $a=a'/2$ .

$$R_T = \frac{\rho}{6 \cdot \pi \cdot L} \cdot \left( \ln \frac{2 \cdot L}{a} + \ln \frac{2 \cdot L}{s} + 1.071 - 0.209 \cdot \frac{s}{L} + 0.238 \cdot \frac{s^2}{L^2} \dots \right)$$

Vincolo:  $s' < L$ .

#### 7) Stella a quattro punte



per avere  $s$ , il valore  $s'$  inserito in Ampère deve essere moltiplicato per 2:  $s=2*s'$ ;

per avere  $a$ , il valore  $a'$  (diametro) inserito in Ampère deve essere diviso per 2:  $a=a'/2$ .

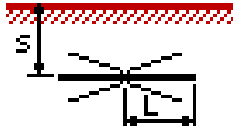
<b>074.22.01.R07</b>	0	EMISSIONE	Data-Date.	Pag.	TOT.
SIGLA-TAG	REV	DESCRIZIONE - DESCRIPTION	<b>Lug. 2023</b>	<b>41</b>	<b>47</b>



$$R_T = \frac{\rho}{8 \cdot \pi \cdot L} \cdot \left( \ln \frac{2 \cdot L}{a} + \ln \frac{2 \cdot L}{s} + 2.912 - 1.071 \cdot \frac{s}{L} + 0.645 \cdot \frac{s^2}{L^2} \dots \right)$$

Vincolo:  $s' < L$ .

#### 8) Stella a sei punte



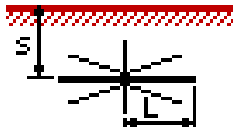
per avere  $s$ , il valore  $s'$  inserito in Ampère deve essere moltiplicato per 2:  $s=2*s'$ ;

per avere  $a$ , il valore  $a'$  (diametro) inserito in Ampère deve essere diviso per 2:  $a=a'/2$ .

$$R_T = \frac{\rho}{12 \cdot \pi \cdot L} \cdot \left( \ln \frac{2 \cdot L}{a} + \ln \frac{2 \cdot L}{s} + 6,851 - 3.128 \cdot \frac{s}{L} + 1.758 \cdot \frac{s^2}{L^2} \dots \right)$$

Vincolo:  $s' < L$ .

#### 9) Stella a otto punte



per avere  $s$ , il valore  $s'$  inserito in Ampère deve essere moltiplicato per 2:  $s=2*s'$ ;

per avere  $a$ , il valore  $a'$  (diametro) inserito in Ampère deve essere diviso per 2:  $a=a'/2$ .

$$R_T = \frac{\rho}{16 \cdot \pi \cdot L} \cdot \left( \ln \frac{2 \cdot L}{a} + \ln \frac{2 \cdot L}{s} + 10.98 - 5.51 \cdot \frac{s}{L} + 3.26 \cdot \frac{s^2}{L^2} \dots \right)$$

Vincolo:  $s' < L$ .

#### 10) Dispensore ad anello

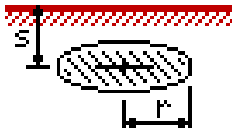


per avere  $s$ , il valore  $s'$  inserito in Ampère deve essere moltiplicato per 2:  $s=2*s'$ ;

per avere  $a$ , il valore  $a'$  (diametro) inserito in Ampère deve essere diviso per 2:  $a=a'/2$ .

$$R_T = \frac{\rho}{4 \cdot \pi^2 \cdot r} \cdot \left( \ln \frac{8 \cdot r}{a} + \ln \frac{8 \cdot r}{s} \right)$$

## 11) Piastra rotonda orizzontale

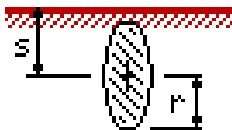


per avere s, il valore s' inserito in Ampère deve essere moltiplicato per 2: s=2\*s'.

$$R_T = \frac{\rho}{8 \cdot r} + \frac{\rho}{4 \cdot \pi \cdot s} \cdot \left( 1 - \frac{7}{12} \frac{r^2}{s^2} + \frac{33}{40} \frac{r^4}{s^4} \dots \right)$$

Vincolo: r < 2\*s'.

## 12) Piastra rotonda verticale

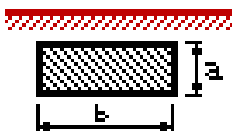


per avere s, il valore s' inserito in Ampère deve essere moltiplicato per 2: s=2\*s'.

$$R_T = \frac{\rho}{8 \cdot r} + \frac{\rho}{4 \cdot \pi \cdot s} \cdot \left( 1 + \frac{7}{24} \frac{r^2}{s^2} + \frac{99}{320} \frac{r^4}{s^4} \dots \right)$$

Vincolo: r < s'.

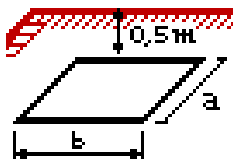
## 13) Piastra rettangolare verticale



$$R_T = \frac{\rho}{4} \cdot \sqrt{\frac{\pi}{a \cdot b}}$$

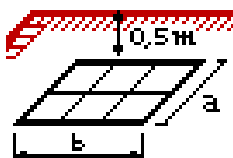
## 14) Dispensore ad anello rettangolare

<b>074.22.01.R07</b>	0	EMISSIONE	Data-Date.	Pag.	TOT.
SIGLA-TAG	REV	DESCRIZIONE - DESCRIPTION	<b>Lug. 2023</b>	<b>43</b>	<b>47</b>



$$R_T = \frac{\rho}{a+b}$$

### 15) Maglia rettangolare



$$R_T = \rho \cdot \left( \frac{1}{4 \cdot r} + \frac{1}{\Sigma I} \right)$$

con

$\Sigma I = nb \cdot b + na \cdot a$  lunghezza totale dei conduttori costituenti la rete.

$$r = \sqrt{\frac{a \cdot b}{\pi}}$$

(I riferimenti bibliografici delle formule sono: Lorenzo Fellin, Complementi di impianti elettrici, CUSL; M. Montalbetti, L'impianto di messa a terra, Editoriale Delfino, Milano).

## 6.3 Calcoli dell'estensione dell'impianto di terra

### 6.3.1 Analisi della rete di terra

Il nuovo impianto fotovoltaico si estenderà su una superficie di circa 20ha. In essa verrà realizzato un nuovo impianto di terra, pertanto prima di procedere alla realizzazione dello stesso, occorrerà verificare la natura del suolo e la resistività.

Quest'ultima è influenzata da diversi fattori quali:

- Tipo di terreno
- Stratificazione
- Temperatura
- Composizione chimica e concentrazione di sali disciolti
- Presenza di metalli e/o tubazioni in cls
- Umidità del terreno

<b>074.22.01.R07</b>	0	EMISSIONE	Data-Date.	Pag.	TOT.
SIGLA-TAG	REV	DESCRIZIONE - DESCRIPTION	<b>Lug. 2023</b>	<b>44</b>	<b>47</b>



L'obiettivo ideale è ottenere una resistenza di terra tale per cui qualsiasi guasto verso terra interno all'impianto non generi tensioni pericolose per le persone.

Pertanto l'intervento di realizzazione del nuovo impianto di terra sulle suddette aree, si configurerà come una estensione di quello esistente, configurandosi in terra globale connessa con i gruppi 3 e 4.

L'estensione dell'impianto di terra dovrà essere realizzata attraverso una griglia di dispersori disposti orizzontalmente e chiusi ad anello; tale griglia dovrà ricoprire l'intera area di impianto e l'area della SSE utente e dovrà essere connessa all'impianto di terra esistente. Il dispersore utilizzato dovrà essere corda di rame nuda con una sezione minima pari a:

$$S_{min} = \sqrt{\frac{I^2 \cdot t}{K_c^2}} = \sqrt{\frac{72^2 \cdot 0,2}{228^2}} \ll 50 \text{ mm}^2$$

dove:

- I è la massima corrente di guasto verso terra lato 20 kV espressa in Ampère;
- t è il tempo di intervento della protezione AT in secondi;
- K<sub>c</sub> è il coefficiente per conduttori nudi non in contatto con materiali danneggiabili (per range di temperatura 30-500°C);

Pertanto, la sezione minima scelta sarà non inferiore ai 50 mm<sup>2</sup>.

L'impianto di terra sarà realizzato mediante un dispersore ad anello in corda di rame nuda di sezione non inferiore ai 95 mm<sup>2</sup> e una rete magliata interna (anelli di dimensione 1m x 1m) di sezione non inferiore ai 70 mm<sup>2</sup>. Tutte le apparecchiature presenti in SSE saranno collegate all'impianto globale mediante 2 o 4 corde di rame di sezione non inferiore ai 95 mm<sup>2</sup>.

L'impianto di terra in corrispondenza delle cabine sarà realizzato mediante un dispersore orizzontale ad anello di sezione non inferiore ai 95 mm<sup>2</sup> e una rete magliata interna (anelli di dimensione 1m x 1m) di sezione non inferiore ai 70 mm<sup>2</sup>.

Per la posa dei dispersori verrà sfruttato il passaggio cavi AT e DC interno all'impianto; l'area di impianto così magliata, dovrà essere poi chiusa ad anello.

Verranno collegati alla rete di terra anche i pali delle strutture (nelle sezioni in cui è previsto l'utilizzo di strutture su palo). In riferimento alla recinzione tutti i tratti che ricadono all'interno della maglia di terra globale dovranno essere collegati a terra; i tratti esterni alla maglia

<b>074.22.01.R07</b>	0	EMISSIONE	Data-Date.	Pag.	TOT.
SIGLA-TAG	REV	DESCRIZIONE - DESCRIPTION	<b>Lug. 2023</b>	<b>45</b>	<b>47</b>



ENERGY  
ENVIRONMENT  
ENGINEERING

**Impianto Agrivoltaico  
"Sassari 2" da 37,80 MWp  
Calcolo preliminare elettrico**

OGGETTO / SUBJECT

**ELEMENTS GREEN  
ATENA S.R.L.**

CLIENTE / CUSTOMER

globale andranno invece isolati da terra. In tali tratti deve essere garantita una distanza minima tra recinzione e struttura di sostegno dei moduli di almeno 5 metri.

Al completamento dell'impianto andrà valutata la resistenza tra le parti e/o strutture metalliche non direttamente connesse a terra e la terra stessa: se tali resistenze sono inferiori ai 1000  $\Omega$  allora occorre collegare tali parti e/o strutture all'impianto di terra.

<b>074.22.01.R07</b>	0	EMISSIONE	Data-Date.	Pag.	TOT.
SIGLA-TAG	REV	DESCRIZIONE – DESCRIPTION	<b>Lug. 2023</b>	<b>46</b>	<b>47</b>



## 7 SCARICHE ATMOSFERICHE

Per la verifica della protezione dell'impianto in oggetto contro le sovratensioni di origine atmosferica deve essere effettuata una valutazione del rischio che tiene conto di:

- Numero all'anno di fulmini su una determinate struttura o area;
- Probabilità che tale evento possa causare danni;
- Danno economico medio in relazione ai danni avvenuti.

La valutazione del rischio è quindi influenzata dalla tipologia di impianto di riferimento e dalle apparecchiature presenti al suo interno.

L'impianto in questione è composto quasi interamente da strutture metalliche collegate direttamente all'impianto di terra, per questo motivo il rischio da fulminazione è minimo. La configurazione dell'impianto adottata prevede l'utilizzo a tutti i livelli di tensione di scaricatori per la protezione dell'impianto contro le sovratensioni. L'impianto pertanto è definito autoprotetto.

<b>074.22.01.R07</b>	0	EMISSIONE	Data-Date.	Pag.	TOT.
SIGLA-TAG	REV	DESCRIZIONE – DESCRIPTION	<b>Lug. 2023</b>	<b>47</b>	<b>47</b>